

川崎製鉄(株)土木開発室 正員 久藤伸若  
△ △ ○ 中川宏夫  
△ 鋼構造研究所 △ 三好弘高

1. えがき 鋼矢板を2列に打込み、中詰を行った後、矢板頭部をタイロッドなどで結合する二重鋼矢板構造物は、従来から仮縛切りや簡易防波堤に使用されており、今後もますます可建造されていくことが予想されるが、本構造物は水平外力が作用したときの力学的挙動は未だ解明されておらず、適切な設計法がみあたらなければ実情である。かかる現状にかんがみ、本研究では体系的アプローチの一歩として、矢板間隔ならびに中詰砂の範囲の状態をパラメータとした模型実験によって、二重鋼矢板構造物の水平抵抗力、矢板の曲げモーメントなどの力学的挙動を把握し、合理的な設計法を確立するための基礎資料を得ることとした。

**2 実験内容** 実験槽には図1に示すような鋼製箱型槽を用いた。矢板模型には板厚6mm、長さ153cmの鋼板を使用したが、槽側面の影響を消去するため板を3分割し、中央にセットした幅60cmの矢板模型を測定对象とした。矢板下端はピン支持し、頭部は直径4mmのタイロッドで結合した。また矢板の変形はタイヤルゲージ(1/100mm)を、曲げた時はひずみゲージを用いてそれを測定し、実験砂としては茨城県高萩以下の輕燥砂を用いた。本実験は表1のごとく5種類行ったが、パラメータは50, 70, 90cmに、締固め状態はホッパーから砂を自由落下させた後、ターによる締固め、締固めを行わなかった3通りに変化させた。実験手順は矢板模型を所定の位置にセットして二重壁を構成し、仮固定材を取り付けて層厚20cmごとに締固めながら実験地盤を造成したが、港湾構造物で、内面高は頭部3mとした。載荷には前倒(載荷側)頭部に車引張り手法を採用し、荷重検出にはアルベックリンクを用いた。引張り値が1分間に  $\frac{1}{1000}$  mm/s(0.2%)以下をした時英モリカゼーション終了時とみなして

### 3 結果と考察

3.1 中詰終了時の土圧係数 矢板のゆげひずみから得た最大ゆげモーメントを利用して、土圧分布を三角形と仮定して算出した土圧係数を示すと表2の通りである。同表より本実験ではランバーで締固めの場合を除き、中詰終了時の土圧係数は主働土圧係数の110%~120%で、矢板間隔による差異は小さいと言え結果が得られた。

3.2.荷重と変位の関係 水平荷重  $P$  と頭部水平変位  $\delta$  との関係を村松表示すると、図2のごとく2つの遷移点を有する折線で近似しうることが明確となる。このオ1遷移点は矢板または中詰砂の塑性化開始点と考えられか、本実験に因る限り、矢板部材は弹性内にあることか確認されており、したがって、中詰砂の塑性化に因る遷移点であるとみなしえる。さらにオ2遷移点は中詰砂の塑性化が進行し、矢板変形が急増する点にありあらたに根入部地盤反力が増大したために発生したものと考えられか、本実験ではオ2遷移点発生時の中詰砂の挙動を明確に把握する点が困難であつたため、今後さらには詳細な検討を要すると思われる。これらの遷移荷重  $P_1$ ,  $P_2$  と  $B/H_0$  ( $B$ :矢板幅、 $H_0$ :壁高)および砂の密度  $\gamma$  ( $\text{kg}/\text{m}^3$ )との関係を図3.4に示し、さらには北島充理論によて計算した中詰砂の

## 図1 実験装置

表1 実験の種類

実験NO	B格	号	初期位置	初期時間	高さ	時間		距離	
						(m)	(s)	平均速度(m/s)	落下距離(m)
1	B70H	6	700	800	自由落体(7)	1.40	34°20'	20.0	0.10
2	B70V	6	700	800	バタフライ(7)	1.48	35°20'	25.0	
3	B70T	6	700	800	タンバ(7)	1.63	38°10'	1.50	
4	B50V	6	500	800	バタフライ(5)	1.49	35°40'	25.0	
5	B90V	6	900	800	バタフライ(9)	1.50	35°50'	25.0	

$\gamma$ : 密度  
 $\phi$ : 内部摩擦角  
 $E_s$ : 压缩弹性系数

表乙 中諸終了時の土圧

試驗 NO	中和土丘係數	生潮土丘係數
1	0.29	0.25
2	0.26	0.22
3	1.16	0.20
4	0.24	0.22
5	0.27	0.22

極限水平抵抗力  $P_{\text{eff}}$  (岩盤上のセル構造物を対象としたもの) を併記した。

図3から、 $P_1$  は  $B/H_0 < 0.9$  では  $B/H_0$  による差異が比較的小さく、 $B/H_0 \geq 0.9$  で増加する傾向がみられること、および  $P_2$  は  $P_1$  よりも  $B/H_0$  による影響が著しいことが明確となった。一方図4から、 $P_1$ 、 $P_2$  は  $\gamma$  による影響を大きく受け、とくに  $\gamma = 1.53 \text{ g/cm}^3$  では著しく増加することが明確となった。また、これら遷移荷重が前述の  $P_{\text{eff}}$  に比べて小さな値を示してであることから考察すると、二重鋼矢板構造では矢板のたわみ性が大きいために中詰砂の局部的な塑性化が著しく、セル構造とは異なった挙動を示すものと考えられる。

**3.3 曲げモーメントおよび土圧分布** 曲げモーメントおよび土圧分布の一例を図5に示したが、図中斜線部は中詰移行時の土圧による影響を消去した両分布図である。これら2図をもとに水平荷重  $P$  による本模型体の挙動を模擬した結果、前側矢板では矢板の変形によって曲げモーメントや土圧が減少する傾向を示しているが、その根入部や後側矢板では比較的載り場合の分布は類似していると考えられ、定性的には前側矢板は地上突出杭に、後側矢板は地中杭に近似しうるものと思われる。

#### 4. 結論

比較的のたわみ性が大きく、根入れを有する二重鋼矢板構造物の模型実験を行い、その力学的挙動についていくつか検討を行ったが、これらをまとめてみる。

(1) とくに過大な締固めを行った場合を除き、中詰移行時の土圧係数は主働土圧係数の 110~120% であった。

(2) 二重鋼矢板構造物の水平外力に対する挙動は本実験ではセル構造物に比較的異なった挙動を示すことが明らかとなつたが、これは二重鋼矢板構造における矢板のたわみ性が大きいために中詰砂の局部的な塑性化が著しいこと、中詰砂の抵抗力が減少した後も根入部地盤反力をもつ抵抗が期待されることが原因すると考えられる。

(3) 二重鋼矢板構造における前側および後側矢板の挙動は、定性的にはそれが地上突出杭、地中杭に近似しうるものと思われる。

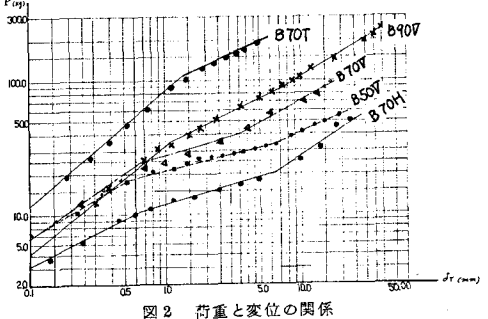


図2 荷重と変位の関係

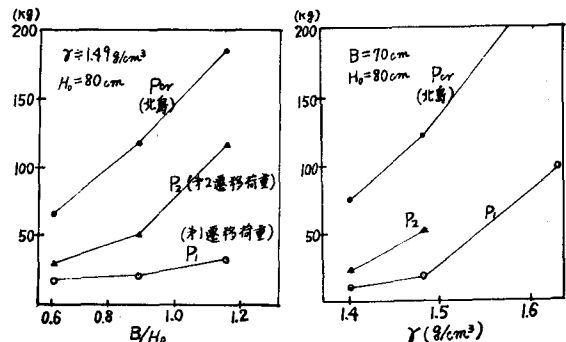


図3 矢板間隔の影響

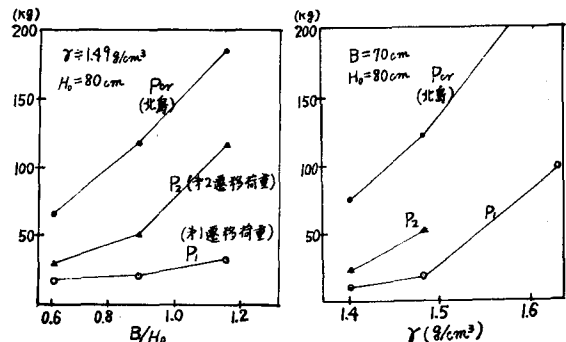


図4 砂の密度の影響

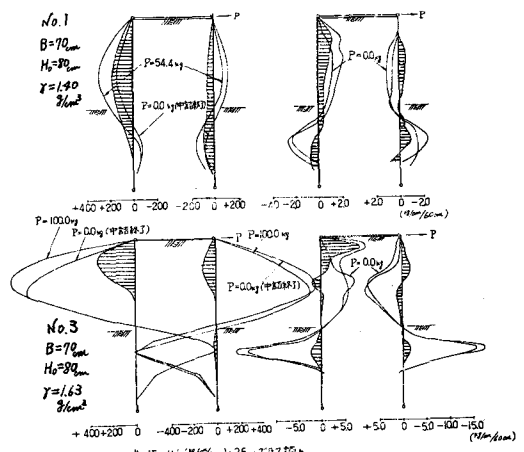


図5 曲げモーメント分布と土圧分布

おりに本研究全般にわたって懇切に御指導いただいた運輸省港湾技術研究所土質部基礎工研究室沢口室長、同設計基準部設計基準課中山課長、同土質部基礎工研究室高橋技官に深く感謝の意を表します。

主な参考文献；北島昭一 セルの安定性に関する研究、運輸技術研究所報告、第12巻、3号、1962